

## Effect of Annealing on Etch Rate of Nuclear Track Detector CR-39

R. W. Mahmood<sup>1\*</sup>, M. A. D. Al-jubbori<sup>2</sup>

<sup>1,2</sup> Department of Physics, Collage of Education for Pure Sciences, University of Mosul, Mosul, Iraq

### Article information

#### Article history:

Received: December 29, 2022

Revised: February 05, 2023

Accepted: February 07, 2023

Available online: September 01, 2023

#### Keywords:

Annealing Detector CR-39, Bulk etch rate VB , Diameters of alpha particles, alpha particles

#### Correspondence:

rasha.20esp20@student.uomosul.edu.iq

### Abstract

The purpose of this paper is to investigate the impact of annealing on bulk etch rate (VB), which is calculated using the thickness measurement method. A 600- micro meter-thick CR-39 detector, divided into four samples ( $1 \times 1 \text{ cm}^2$ ), was vertically irradiated by alpha particles from a  $^{241}\text{Am}$  source at 2.6 MeV energy. The three samples were annealed at 100–140 C in 20 C increments using Memmert U4079142. All samples were etched in a 6.25 N NaOH solution at 701 C in a Memmert W200 water bath. The periodic etching time was 6 hours, every 0.5 hours. The etched image was captured using a camera (MADC\_5A) attached to a microscope (XSZ-H Series Biological Microscope). The bulk etch rate and diameters increase with increasing annealing temperatures. The new method used in this paper to calculate the experimental track length is based on the relation between track length and track diameter obtained from track-test software.

### المقدمة:

لقد تعددت واتسعت المجالات في استخدام كواشف الآثار النووية الصلبة في الآونة الأخيرة لما تمتلكه من خصائص تميزه عن كواشف الآثار النووية الصلبة الأخرى مما جعلها تقنية فعالة في الكشف عن وجود الجسيمات المشحونة وشظايا الانشطار والنيترونات [1] وجسيمات الفا . ولا يحتوي هذا الكاشف على النيتروجين وهو مادة بوليميرية مختصرها [2 ] Columbia Resin CR-39 مشتقة من وجسيمات الفا . ولا يحتوي هذا الكاشف على النيتروجين وهو مادة بوليميرية مختصرها [3] يحضر هذا الكاشف من بلمرة كاربونات الاليل دايكول المتعدد وتبلغ كثافته  $1.32 \text{ g.cm}^{-3}$  وصيغته الجزيئية  $n(\text{C}_{12}\text{H}_{18}\text{O}_7)$  [4] .

ولما تمتلك هذه الكواشف من خصائص جعلها مرغوبة و سهلة الاستخدام حيث لا تحتاج الى مصدر للطاقة ولها مرونة كبيرة في استخدامها ومتوفرة وتكلفتها قليلة ويعتبر من اكثرب الكواشف التي تكون ذات حساسية عالية وقدرتة التحليلية الجيدة [5] ذو شفافية بصرية ونقاوة عاليتين وحساسية عالية للإشعاع (جسيمات الفا والنيترونات والبروتونات) وبطاقات مختلفة ولتسجيل آثار البروتونات المرتدة نتيجة تصادمها مع النيترونات بطاقات عالية التي قد تتراوح (0.1-20)MeV التي يجعل الكاشف حساساً للنيترونات السريعة [6]. الكاشف لا يتأثر بالعوامل الجوية كالرطوبة ودرجة حرارة عند تخزينه لفترات طويلة تحت الظروف الطبيعية كما انه لا يذوب في

الحالات الكيميائية أثناء القشط ولكن يقل من سمكه أثناء الحفر [7]، وله استقراره حراري من الاحماء الحراري مرتبط المقطع متلور جزئياً ويستخدم في قياس تركيز الرادون والليورانيوم في المنازل وفي مواد البناء وفي التربة والاغذية والمياه . من مواصفات كواشف الاثر النووي سلامة استخدامه في التجارب العلمية وبالأخص في الآونة الاخيرة حيث اجريت تجارب عدة على هذا الكاشف منها، التشعيع بمصدر الامريشيوم  $^{241}\text{Am}$  ذو طاقة (5.485MeV) ، ومن ثم التلدين هي عملية تسخين الكاشف في فرن [8] [9] ، مخصص لهذا الغرض تبدأ درجات حرارته من  $^0\text{C}$  (30-200) بمقدار زيادة منتظمة قدرها  $^0\text{C}$  (20) ويوجد محار لقياس درجة الحرارة داخل الفرن ، وعند التسخين في الفرن هنالك تأثير على الكاشف انخفاض في حساسية الكاشف [10] مع معدلات، هدم شديد في مادة الكاشف مع ظهور واضح لطراوة ملحوظة مع تغير اللون من شفاف الى المائل الى الاصفار [11] بالإضافة الى ظهور تصدعات على سطح الكاشف يمكن رؤيتها بصورة واضحة تحت المجهر او بصورة ضبابية بالعين المجردة والتعرض الكبير للحرارة العالية يؤدي الى تغير في جوهر مادته [12,13] وزونها الجزيئي و تكسر السلسلة الرئيسية في البوليمر وتتكثك أو تفصل المجاميع الجانبية وقد يتحوال البوليمر الى اكثر ثباتا او يفقد الثبات الحراري أو القابلية على الذوبان وعند التلدين لدرجات حرارة عالية وفترات زمنية طويلة يؤدي الى انخفاض معدل الحفر في الكاشف[14] و يعني الكاشف من تغير في الصفات الكيميائية والفيزيائية [15] وفي هذا البحث تم التلدين من درجات حرارة  $^0\text{C}$  (100-140) وبعد هذه العملية يتم القشط داخل الحمام المائي بمحلول هيدروكسيد الصوديوم بنسبة N 6.25 ودرجة حرارة (  $^0\text{C}$  70 ± 1) ومن تأخذ اخذ القياسات للكواشف لحساب معدل سمك الكاشف[16] بصورة افقية بعد عملية القشط وأن انتفاخ الكاشف أثناء القشط نتيجة لامتصاصه محلول القشط يعتبر أحدى مؤشرات نسبة الخطأ في قياس السمك.

درس (النعمي والعبدي، 2002) تأثير التسخين على الخصائص التسجيلية على كاشف الاثر البلاستيكى PM-355 فقد تمت معالجة الكاشف حرارياً للمدى  $^0\text{C}$  (130-170) وبزيادة قدرها  $^0\text{C}$  10 قبل وبعد التشعيع بجسيمات الفا من مصدر الامريشيوم  $^{241}\text{Am}$  وبمعدل طاقة 3.5 MeV . تبين ان تسخين الكاشف للمديات الحرارية في اعلاه تؤدي الى تحسين المتغيرات الكشفية والقسطوية للكاشف . اذ تؤدي الى زيادة اقطار الاثار المترکونة وزيادة معدلي القشط العام  $V_T$  والاثر  $V_B$  نقصان في الزاوية الحرجة  $\Theta_C$  . كما وجد ان تسخين الكاشف قبل تشعيعه بجسيمات الفا ( $T_a + \alpha$ ) افضل من تسخينه بعد التشعيع ( $\alpha + T_a$ ) . وتوصوا إلى ان تأثير اكثـر من عامل واحد على الكاشف ( كالتسخين واشعة كاما معا ) يكافـع مجموع تأثير كل منهما على انفراد مع الاخذ بالاعتبار اولوية ترتيب تلك العوامل المؤثرة قبل التشعيع بـالـفـا وبعدـه [17] .

درس (محمد والكعبي، 2022 ) تأثير درجة حرارة التلدين على اقطار آثار جسيمات الفا وذلك باستخدام كاشف الاثر النووي CR-39 حيث تم تأخذ مدى درجات حرارة تلدين (200-130) وتبين ان هنالك زيادة في اقطار اثار جسيمات الفا عند زيادة درجة حرارة التلدين لنفس زمن القشط [18] .

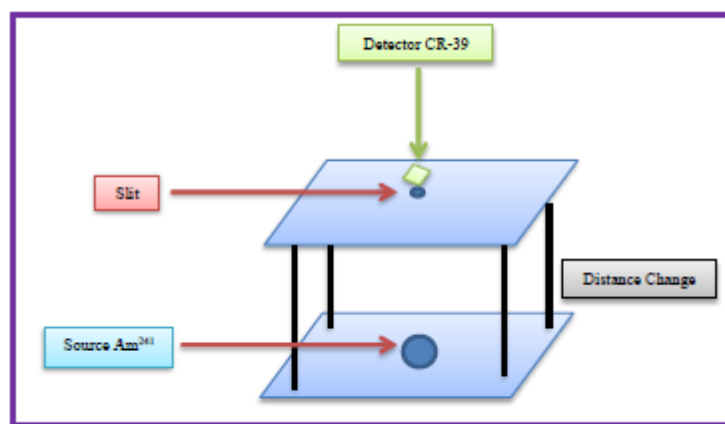
درس Saad et al, 2021 تأثير التلدين الحراري قبل التعرض لمعدلات القشط CR-39 . وأجريت تجارب التلدين على كاشفات CR-39 قبل تعرضها لجزء انشطار  $^{252}\text{Cf}$  مصدر . وقيسـت معدلات القشـط العام باـستخدام طـرـيقـة فقدـان الـوزـن (WLM) ومـسـار الانـشـطاـر طـرـيقـة القـطـر (FTDM) وظـهـرـ انـكمـيـة جـيـدة منـمـعـدـلـ القـشـطـ يـنـخـضـ منـسـطـحـ الأـصـلـيـ لـكـلـ كـاـشـفـ 39ـ بـسـرـعـةـ فـيـ الـبـداـيـةـ ثـمـ بـيـطـهـ أـكـثـرـ عـلـىـ طـوـلـ عـمـقـ الـذـيـ يـحاـكـيـ الـاتـجـاهـ الأـسـيـ وـتـمـ التـوـصـلـ إـلـىـ أـنـ هـذـهـ النـتـائـجـ الـكـمـيـةـ

تكون أكثر وضوحاً في حالات درجات حرارة التدین العالية ولفترات زمنية أطول للتدین وتوصوا إلى أن معدلات القشط تؤثر على خصائص تسجيل الأيونات الثقيلة بشكل كبير في الطبقة القريبة من السطح للصلب PADC.[19]

إن الهدف من الدراسة الحالية معرف تأثير التدین على معلمات الأثر النووي في كاشف الأثر النووي CR-39 وكذلك معدل القشط  $V_B$  وإجراء مقارنة مع نتائج عالمية .

#### طريقة العمل:

في البحث الحالي استخدم كاشف الأثر النووي CR-39 سمك (  $10 \pm 600\text{m}$  ) الذي قطع إلى 4 قطع (  $1 \times 1 \text{ cm}^2$  ). اجريت عملية التشعيع بجسيمات الفا  $2.6 \text{ MeV}$  باستخدام منظومة التشعيع المبينة في الشكل (1) حيث يتم تحديد الطاقة من العلاقة  $E = E_0 \left(1 - \frac{x}{R}\right)^{2/3}$  أجريت عملية التشعيع عن طريق مصدر الامريشيوم  $^{241}\text{Am}$  لمدة ( 25min ) ثم تم قشطة بمحلول هيدروكسيد الصوديوم  $\text{NaOH}$  بتتركيز ( 6.25N ) وبدرجة حرارة (  $70 \pm 1^\circ\text{C}$  ) في الحمام المائي صيني المنشأ (HH-SI) واخذت 3 قطع المتبقية من الكواشف وتم تلدينه بالفرن الكهربائي الماني المنشأ ( memmert ) من درجة حرارة (  $100 - 140^\circ\text{C} \pm 1^\circ\text{C}$  ) بالتتابع بزيادة قدرها (  $20^\circ\text{C}$  ) لمدة نصف ساعة ومن ثم قشطت العينات الثلاثة المتبقية كلًا على حدة بنفس محلول السابق هيدروكسيد الصوديوم ولمدة نصف ساعة مع استبدال محلول القاشط أربع ساعات، اخذت قياسات سمك جميع الكواشف لغاية 6 ساعات من القشط بواسطة المجهر الضوئي من نوع (XSZ-H Series Biological Microscope) المزود بكاميرا علوية متصلة بحاسوب المختبر والتي عن طريقها يتم اخذ قياس سمك الكاشف .



الشكل (1): منظومة التشعيع لجسيمات ألفا

## الجانب النظري

تعددت طرق قياس معدل القشط العام  $V_B$  ومن ضمن هذه الطرق :-

### طريقة السمك المزال (Removed thickness method)

في هذه الطريقة قيس السمك المزال من سطح الكاشف  $\Delta h(\mu\text{m})$  لأزمان قشط متتابعة  $\Delta t(\text{h})$  وتعطى  $V_B$  بالعلاقة التالية :

$$V_B = \frac{\Delta h}{2\Delta t} \dots \dots (1)$$

يظهر العامل "2" كون الكاشف يقشر من الجهتين

### طريقة ثبوت الأثر

تعتبر هذه الطريقة حديثة نوعاً ما لقياس معدل القشط العام وذلك من خلال معلمات الأثر عند بداية ثبوته وهي كل من طول الأثر عند الثبوت ويسمى أقصى طول اثر ( $L_{max}$   $\mu\text{m}$ ) والذي يقابل زمن الثبوت ( $t_{sat}$  (hr)) وبإيجاد مدى جسيمات ألفا ( $R(\mu\text{m})$  وتحسب قيمته باستخدام برنامج SRIM في الكاشف CR-39 تم قياس معدل القشط العام من المعادلة التالية : [20]

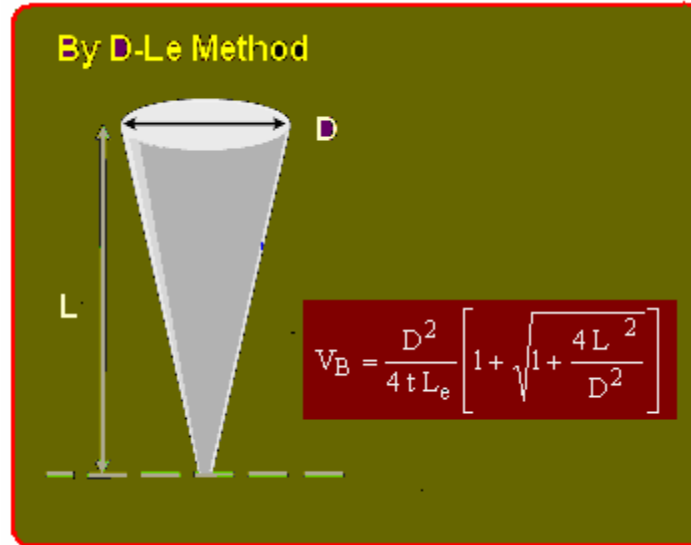
$$V_B = \frac{R - L_{max}}{t_{sat}} \dots \dots (2)$$

### طريقة قطر- طول الأثر (D\_L method)

تعتمد هذه الطريقة على طول قطر الأثر في مرحلة النمو أي في مرحلة المخروط المنتظم وتتطلب هذه الطريقة دقة في قياسات طول الأثر المقشوط في مرحلة نموه ( $L(\mu\text{m})$  وكذا قطره ( $D(\mu\text{m})$ ) والشكل (2) يوضح معلمات الأثر المقشوط في مرحلة المخروط المنتظم.

ويمكن إيجاد  $V_B$  من العلاقة الآتية : [21-23]

$$V_B = \frac{D^2}{4tL} \left[ 1 + \sqrt{1 + \frac{4L^2}{D^2}} \right] \dots \dots (3)$$



الشكل (2) : معدل القشط العام بطريقة علاقة قطر \_ طول الأثر [21-23]

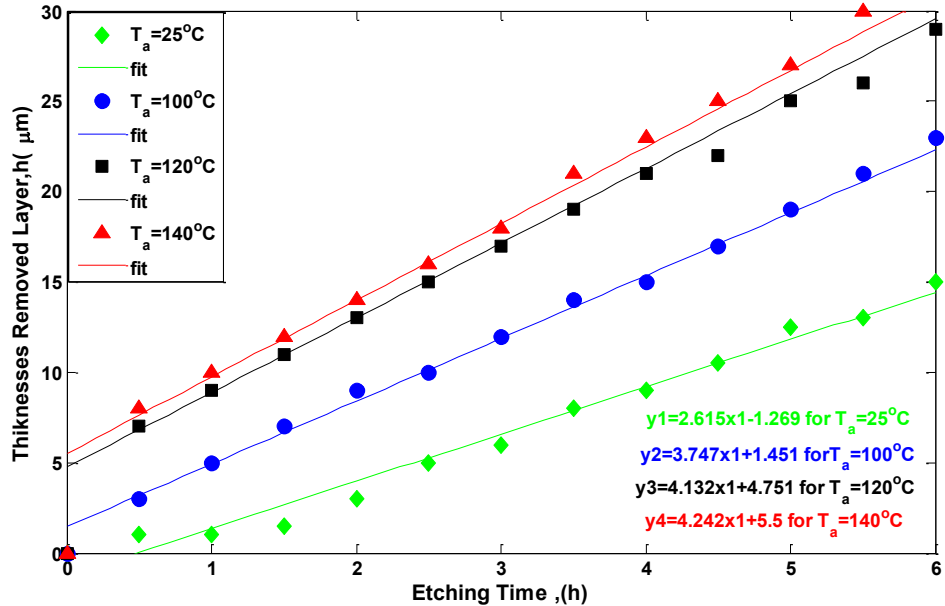
#### النتائج والمناقشة:

في هذه الدراسة احتسب معدل القشط العام  $V_B$  لكاشف النووي CR-39 بطريقة السُّمك المزال ( Removed thickness method ) بعد تشعيع العينات الأربع تم تدرين ثلث منها بدرجات حرارة  $20^{\circ}\text{C}$ ،  $60^{\circ}\text{C}$ ،  $100^{\circ}\text{C}$  و  $140^{\circ}\text{C}$  بزيادة تتابعية  $20^{\circ}\text{C}$  بعد قشطت جميع العينات بمحلول هيدروكسيد الصوديوم  $\text{NaOH}$  بتركيز  $6.25\text{N}$  بدرجة حرارة  $(70 \pm 1)^{\circ}\text{C}$  ولزمن قشط  $6.0 \pm 0.5\text{h}$ ، وكاشف رابع لم يلدّن. واعتبر بدرجة حرارة الغرفة. الشكل (3) يبيّن المظاهر الجانبية لـ تغيير سماكة الطبقة المزالّة حيث يمكن رؤية التغييرات التي تطرأ على الكاشف بواسطة الكاميرا المثبتة على المجهر والمربوطة على الحاسبة اذ نلاحظ ان الطبقة المزالّة تكون اكبر بزيادة زمن القشط.

الشكل (4) يبيّن العلاقة بين سماكة الطبقة المزالّة وزمن القشط اذ نلاحظ ان هنالك علاقة خطية ومن خلال ايجاد الميل لكل منحن وباستخدام المعادلة (1) يتم إيجاد معدل القشط العام.

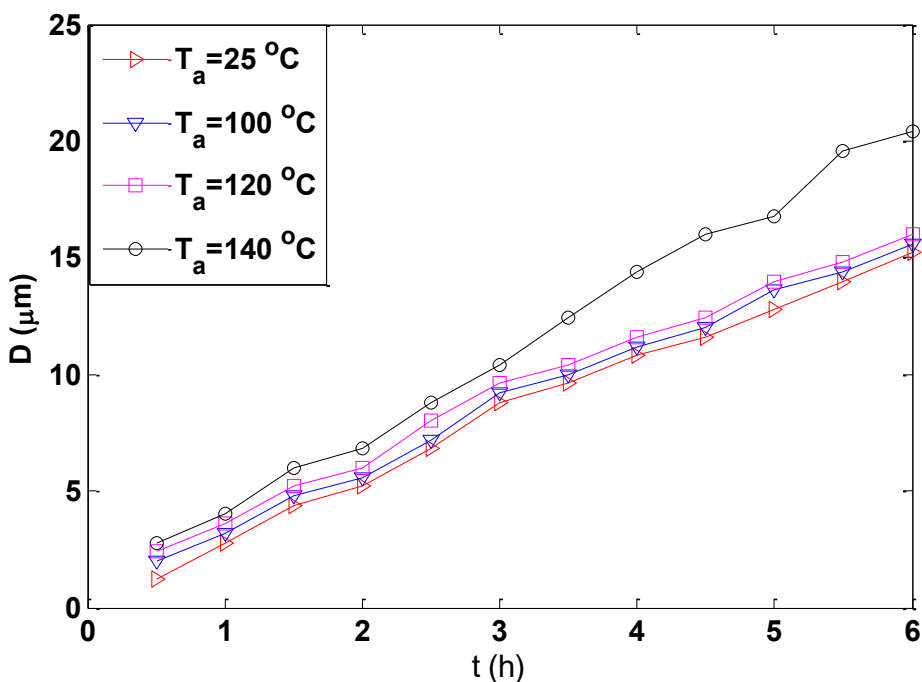


الشكل (3): التغير في سمك الكاشف قبل القشط وبعده لمدة ست ساعات ويزادة تتبعية 00.5h



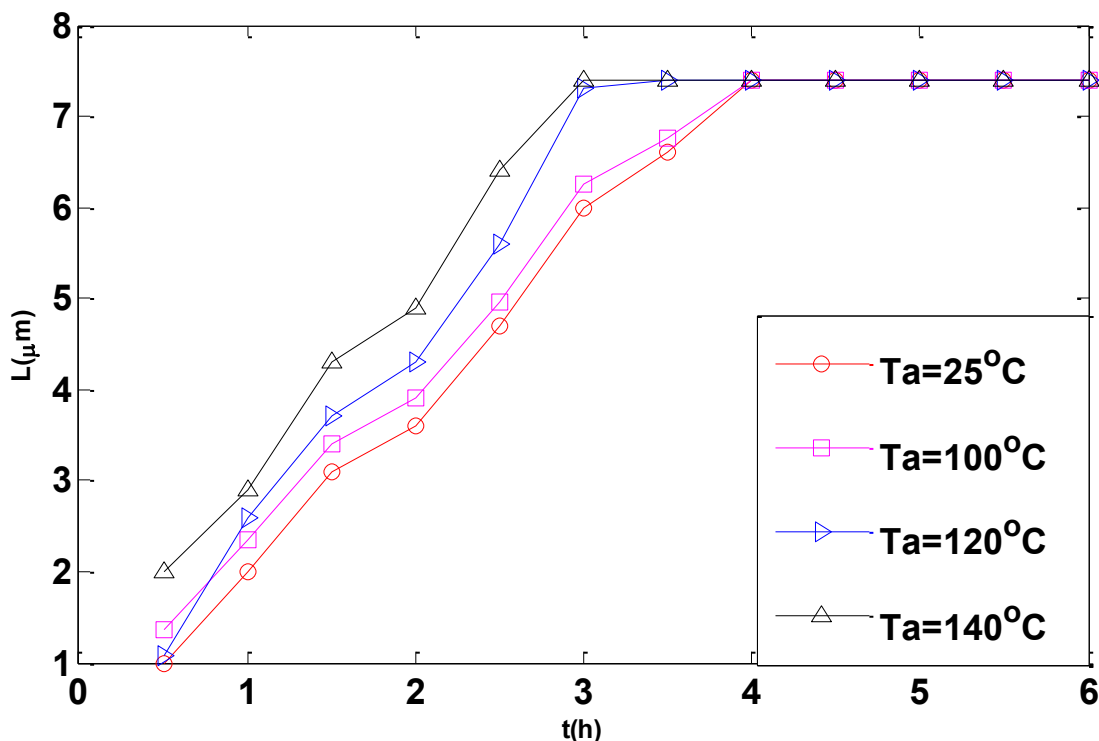
الشكل (4): العلاقة بين سماكة الطبقة المزالة وזמן القشط لدرجات حرارة تلدين مختلفة

رسمت العلاقة بين اقطار آثار جسيمات الفا دالة لزمن القشط وهذا يوضحه الشكل (5) حيث نلاحظ ان هناك زيادة تتابعية بأقطار جسيمات الفا عند كل درجة حرارة تلدين، ويتبين من الشكل ان قطر الاثر يزداد بزيادة درجة حرارة التلدين عند نفس زمن القشط وذلك نتيجة لزيادة معدل القشط العام للكاشف بزيادة درجة حرارة التلدين.



الشكل (5): العلاقة بين قطر الأثر وזמן القشط

استخدمت طريقة جديدة في هذا البحث لحساب طول الاثر المكون وذلك من خلال القطر المقاس تجريبياً إذ تتحسب اطوال الاثار تجريبياً من خلال العلاقة بين طول الاثر وذلك من خلال برنامج track-test ومن ثم اسقطا اقطار الاثار المقاسة عملياً عندها يتم حساب طول الاثر تجريبياً وهذا مبين كما في الشكل (6). حيث نلاحظ من الشكل ان هنالك زيادة لا خطية لطول الاثر مع زمن القشط الا ان يصل مرحلة الثبوت عندها يثبت طول الاثر بتقدم عملية القشط وهذا منطقي كون القشط في هذه المرحلة يكون في المنطقة السليمة وتسمى هذه المرحلة بمرحلة القشط المفرط.



الشكل(6) : طول الاثر دالة لزمن القشط

أجريت مقارنة لمعدل القشط العام عند درجات تلدين مختلفة والجدول (1) يبين ان هنالك توافقاً جيداً بين دراستنا الحالية ودراسة Saad et al لدرجات التلدين نفسها اما بعض الاختلافات في قيم  $V_B$  بين الدراستين فتعود الى زمن التلدين حيث كان لمدة ساعتين في دراسة Saad .[19] et al

الجدول (1) : معدل القشط العام  $V_B(\mu\text{m}/\text{h})$ 

Studies	$T_a(^{\circ}\text{C})$	$V_B(\mu\text{m}/\text{h})$
<b>Present work</b>	<b>25</b>	<b>1.307</b>
	<b>100</b>	<b>1.8735</b>
	<b>120</b>	<b>2.006</b>
	<b>140</b>	<b>2.121</b>
<b>Saad et al, 2021 [19]</b>	<b>25</b>	<b>1.56</b>
	<b>110</b>	<b>1.97</b>
	<b>130</b>	<b>2.61</b>
	<b>140</b>	<b>4.40</b>

## الاستنتاجات:

في هذا البحث درس تأثير درجة حرارة التلدين على خصائص كاشف الأثر النووي CR-39 منها معدل القشط العام، واقطر واثر جسيمات الفا المترسبة على الكاشف. لوحظ ان هنالك تغيراً واضحاً في قيم معدل القشط العام للكاشف مع تغير درجة حرارة التلدين وكانت القيم (1.307, 1.8735, 2.006 and 2.121)  $\mu\text{m}/\text{h}$  عند درجات حرارة تلدين  $25, 100, 120$  and  $140$   $^{\circ}\text{C}$  على التوالي. من الشكلين (5 and 6) نلاحظ ان هنالك زيادة في اقطار واطوال اثار جسيمات الفا بزيادة درجة حرارة التلدين عند نفس الزمن وهذا يدل على زيادة نمو الأثر بزيادة درجة حرارة التلدين. أجريت مقارنة بين الدراسة الحالية ودراسة أخرى مبنية في الجدول (1) ويبدو ان هنالك توافقاً جيداً عند نفس درجة حرارة التلدين لقيمة  $V_B$ .

## شكر وتقدير

يود الباحثان ان يقدموا الشكر والتقدير الى قسم الفيزياء، كلية التربية للعلوم الصرفة، جامعة الموصل لتقديم التسهيلات لأنجاز هذا البحث

## References

- [1] M. Sadowski *et al.*, “Calibration of CN and CR-39 track detectors for measurements of fast deuterons and nitrogen ions,” *Radiat. Meas.*, vol. 28, no. 1–6, pp. 201–206, 1997, doi: 10.1016/S1350-4487(97)00068-1.
- [2] K. M. Thabayneh, “Studying some properties of CR-39 detector under the effect of different gamma doses,” *J. Assoc. Arab Univ. BASIC Appl. Sci.*, 2015, doi: 10.1016/j.jaubas.2014.11.003.
- [3] A. Abed Ibrahim and W. Hazim Yousif, “Effect of Etching Solution on Nuclear Track Detector CR-39, ” *Int. J. Appl. Eng. Res.*, vol. 13, no. 10, pp. 8659–8663, 2018, Available: <http://www.ripublication.com>.

- [4] A. F. Saad, E. M. Sedqy, and R. M. Ahmed, "Effect of UVC radiation on the optical properties of thermally treated CR-39 polymer films: A new approach for the use of CR-39 as an optical dosimeter, " *Radiat. Phys. Chem.*, vol. 179, no. November 2020, p. 109253, 2021, doi: 10.1016/j.radphyschem.2020.109253.
- [5] M. Janik, M. M. Hasan, P. Bossew, and N. Kavasi, "Effects of storage time and pre-etching treatment of cr-39 detectors on their response to alpha radiation exposure, " *Int. J. Environ. Res. Public Health*, vol. 18, no. 16, 2021, doi: 10.3390/ijerph18168346.
- [6] A. A. I. AL-Obedy and N. M. Hassan, "Effect of Heat Treatment on the Bulk Etch Rate Activation Energy of CR-39 Detector, " *Kirkuk Univ. Journal-Scientific Stud.*, vol. 11, no. 4, pp. 70–83, 2016, doi: 10.32894/kujss.2016.131063.
- [7] Nidhi, R. Gupta, T. Sharma, S. Aggarwal, and S. Kumar, "Effect of thermal annealing on optical properties of CR-39 polymeric track detector, " *Indian J. Phys.*, vol. 83, no. 7, pp. 921–926, 2009, doi: 10.1007/s12648-009-0049-4.
- [8] M. A. Rana, S. Guedes, and M. Iqbal, "Thickness alterations of CR-39 plastic detectors due to the heating influence: Basic theory and experimental results, " *Radiat. Meas.*, vol. 50, pp. 87–91, 2013, doi: 10.1016/j.radmeas.2012.07.014.
- [9] S. Kumar and N. Lal, "ETCHING AND ANNEALING CHARACTERISTICS OF DIFFERENT CR-39 TRACK DETECTORS: A COMPARATIVE STUDY," *Int. J. Radiat. AppL Instrum., PartD*, vol. 18, no. 3, pp. 335–339, 1991.
- [10] A. T. Selman *et al.*, "Measurements of Track Diameter Growth and Activation Energy for Different SSNTD, " *Basrah J. Scie.*, vol. 12, no.2, 1994, PP:103-108.
- [11] A. H. Hussain, and H. A. Al-khrsan, "Effects of Etch at on Bulk Behavior of PM-355 Track Detector, " *Basrah J. Scie.*, vol.13, no.1, 1995, PP:25-32.
- [12] T. Yamauchi et al., "Oxidative degradation of CR-39 track detector in the surface region during gamma-irradiation, " *Nucl. Instruments Methods Phys. Res. Sect. B Beam Interact. with Mater. Atoms*, vol. 208, no. 1–4, pp. 489–494, 2003, doi: 10.1016/S0168-583X(03)00656-6.
- [13] S. H. S. Al-nia, "Alternative Approach to Extract the Bulk Etching Rate of PADC Nuclear Detector," *Iraqi Journal of Science*, vol. 59, no. 2, pp. 856–864, 2018, doi: 10.24996/ijjs.2018.59.2B.6.
- [14] M. Y. Shoeib, T. M. Hegazy, and G. M. Hassan, "Effect of heat treatment on some properties of CR-39 nuclear track detector irradiated by gamma ray, " *Beni-Suef Univ. J. Basic Appl. Sci.*, vol. 3, no. 1, pp. 74–79, 2014, doi: 10.1016/j.bjbas.2014.02.010.
- [15] Y. T. Khlile and M. A. D. Al-jubbori, "Investigate Oblique Incident Alpha Particle Tracks on CR-39 Detector Yasser," *J. of Education and Science*, vol. 29, no.3, pp. 196–210, 2020, doi: 10.33899/edusj.2020.127268.1081.
- [16] K. R. Flaih, "Parameters Affecting Bulk Etch Rate VBfor CR-39 Detector, " *J. Univ. Anbar Pure Sci.*, vol. 14, no. 2, pp. 68–71, 2022, doi: 10.37652/juaps.2022.172390.
- [17] S. H. S. Al-Niaemi, and A. A. AL-obedy, "EFFect of heating traement on the Registration Characteristics of the plastic PM-355 NUClear track detector," *journal Basic. and engineering*

- science, vol. 1. no. 12, pp 1-18, 2003.
- [18] A. K. Mheeemeed, and M. A. Al-kabi, "Calculation of the heat treatment activation energy of the CR-39 detector," *jornal Mesopotamia Sciences*, vol.1, no.16, pp. 100-114, 2005.
- [19] A. F. Saad, A. T. Gendya, M. A. Rana, Y. K. Abdalla, N. A. Hussein, and M. S. Dawood, "Influence of pre-exposure thermal annealing on etch rates of CR-39 nuclear track detectors: New findings," *Nucl. Instruments Methods Phys. Res. Sect. A Accel. Spectrometers, Detect. Assoc. Equip.*, vol. 1014, no. July, pp. 165680, 2021, doi: 10.1016/j.nima.2021.165680.
- [20] Azooz, A. A.; Al-Nia'emi, S.H.; Al-Jubbori, M.A .(2012), Radiat. Meas. 47, pp. 67-72.
- [21] Balestra, S.; Cozzi, M.; Giacomelli, G.; Giacomelli, R.; Giorgini, M.; Kumar, A.; Mandrioli, G.; Manzoor, S.; Margiotta, A. R.; Medinaceli, E.; Partizii, L.; Popa, V.; Qureshi, I. E.; Rana, M. A.; Sirri, G.; Spurio, M.; Togo, V. and Valieri, C. (2007), "Bulk Etch Rate Measurements and Calibrations of Plastic Nuclear Track Detectors", *Nucl. Instr. Meth. in physics research B* 254, pp. 254-258
- [22] Manzoor, S. (2006), "Nuclear Track Detectors for Environmental Studies and Radiation Monitoring", Physical Department, University of Bologna. <http://www.slac.stanford.edu/spires/find/hep/wwwauthors?key=69959> 85.
- [23] Ho, J. P. Y.; Yip, C. W. Y.; Koo, V. S. Y. and Yu, K. N. (2002), "Feasibility and Limitation of Track Studies Using Atomic Force Microscopy", *Nucl Instr. And Meth. in Physics Research B*, 197, PP. 293-300.

## تأثير التلدين على كاشف الأثر النووي CR-39

رشا وائل محمود و<sup>2</sup>مشتاق عبد داود الجبوري<sup>1\*</sup>

قسم الفيزياء، كلية التربية للعلوم الصرفة، جامعة الموصل، الموصل، العراق

### الخلاصة:

يهدف هذا البحث الحالي الى دراسة تأثير التلدين على معدل القشط العام  $V_B$  حيث استخدمت طريقة السمك المزدوج من فوق سطح كاشف الاثر النووي CR-39 ، استخدم كاشف CR-39 ذو سمك  $600\mu\text{m}$  إذ قسم الكاشف الى اربع عينات ( $1\times1\text{cm}^2$ ) وشعّعت هذه العينات بمصدر الامريشيوم  $^{241}\text{Am}$  بطاقة  $2.6 \text{ MeV}$  بزاوية سقوط عامودية على الكاشف. ولدت ثلاثة عينات لزمن نصف ساعة بعد التشعيع بدرجات حرارة  $(100-140)^\circ\text{C}$  بواسطة فرن نوع ( Memmert ) U4079142 بزيادة تتبعية  $20^\circ\text{C}$  ثم قشطت جميع العينات بمحلول هيدروكسيد الصوديوم NaOH بتركيز  $6.25\text{N}$  بدرجة حرارة  $(70\pm 1)^\circ\text{C}$  في حمام مائي نوع (Memmert W200) ولزمن قشط  $6 \text{ h}$  بزيادة  $0.5\text{h}$ ، بعدها تم اخذ صور للسمك المزدوج واقطان اثار جسيمات الفا عن طريقة كاميرا رقمية من نوع (XSZ-H Series Biological Microscope) ومتعلقة على الحاسوب الشخصي PC. وجد ان معدل القشط العام يزداد بزيادة درجة حرارة التلدين وكذلك زيادة اقطان الالاثر. استخدمت طريقة جديدة لقياس اطوال الالاثر التجريبية من الاقطان وذلك من خلال رسم العلاقة بين طول الالاثر وقطره إذ ان طول الالاثر احتسب من برنامج track-test.